

Ю. М. Коляно, Р. М. Кушнир

**ТЕМПЕРАТУРНЫЕ НАПРЯЖЕНИЯ
В НАГРЕВАЕМЫХ ИСТОЧНИКАМИ ТЕПЛА ПЛАСТИНКАХ
С ДВУСТОРОННИМИ ПОКРЫТИЯМИ**

Рассмотрим свободную от внешней нагрузки неограниченную полосу-пластинку толщиной 2δ с двусторонним покрытием толщиной $2h$, в которой поверхности $x_0 = \pm L$ теплоизолированы, а через боковые поверхности $z_0 = \pm \delta$ осуществляется теплообмен с внешней средой нулевой температуры по закону Ньютона. Пластика нагревается системой мгновенных равноотстоящих сосредоточенных источников тепла, расположенных вдоль оси y [3]. Предположим, что температура пластинки в начальный момент времени равна нулю.

Физико-механические характеристики пластинки с двусторонним покрытием представим в виде

$$\rho(z) = \rho_0 + (\rho_1 - \rho_0) [S_+(z + 1 - 2\varepsilon) - S_-(z - 1 + 2\varepsilon)], \quad (1)$$

где ρ_0 и ρ_1 — физико-механические характеристики покрытия и основного материала; $\varepsilon = \frac{h}{\delta}$; $z = \frac{z_0}{\delta}$;

$$S_-(\eta) = \begin{cases} 1, & \eta \geq 0; \\ 0, & \eta < 0; \end{cases} \quad S_+(\eta) = \begin{cases} 1, & \eta > 0; \\ 0, & \eta \leq 0. \end{cases}$$

Для определения нестационарного температурного поля в рассматриваемой системе воспользуемся уравнением теплопроводности для неоднородных пластинок [2], которое в данном случае запишется так:

$$\Delta T - \text{Bi}^* T = \frac{\partial T}{\partial \text{Fo}^*} - Q^* \delta(x) \delta(\text{Fo}^*) \frac{1}{2c} \left(1 + 2 \sum_{m=1}^{\infty} \cos \lambda_m y \right). \quad (2)$$

Краевые условия примем в виде

$$\left. \frac{\partial T}{\partial x} \right|_{|x|=l} = 0; \quad T = \frac{\partial T}{\partial y} = 0 \text{ при } |y| \rightarrow \infty, \quad T|_{\text{Fo}^*=0} = 0. \quad (3)$$

Здесь x, y — координаты точки срединной поверхности пластинки, отнесенные к ее полутолщине δ ; $2c$ — расстояние между соседними источниками тепла; $\delta(\xi)$ — дельта-функция Дирака; $\alpha, \lambda_i^{(i)}, c_i, \rho_i$ — соответственно коэффициенты теплоотдачи с поверхностями $z = \pm 1$, теплопроводности, теплоемкости и плотность покрытия ($i = 0$) и основного материала ($i = 1$);

$$\lambda_m = \frac{m\pi}{c}; \quad l = \frac{L}{\delta}; \quad K_\lambda = \frac{\lambda_i^{(0)}}{\lambda_i^{(1)}}; \quad K_c = \frac{c_v^{(0)}}{c_v^{(1)}}; \quad c_v^{(i)} = c_i \rho_i; \quad a_1 = \frac{\lambda_i^{(1)}}{c_v^{(1)}};$$

$$\text{Bi}^* = \frac{\text{Bi}}{1 + 2\varepsilon(K_\lambda - 1)}; \quad \text{Fo}^* = \frac{\text{Fo} [1 + 2\varepsilon(K_\lambda - 1)]}{1 + 2\varepsilon(K_c - 1)}; \quad Q^* = \frac{Q}{1 + 2\varepsilon(K_c - 1)};$$

$$\text{Bi} = \frac{\alpha \delta}{\lambda_i^{(1)}}; \quad \text{Fo} = \frac{a_1 \tau}{\delta^2}; \quad Q = \frac{qa_1}{2\lambda_i^{(1)} \delta^3}; \quad \Delta = \frac{\partial^2}{\partial x^2} + \frac{\partial^2}{\partial y^2}.$$

Для определения температурных напряжений воспользуемся формулами для неоднородных пластинок [2], которые в данном случае записываются в виде

$$\sigma_{xx} = J_1 \left(\frac{\partial u}{\partial x} + \frac{\partial v}{\partial y} \right) + J_2 \frac{\partial u}{\partial x} - J_3; \quad \sigma_{xy} = \frac{1}{2} J_2 \left(\frac{\partial v}{\partial x} + \frac{\partial u}{\partial y} \right); \quad (4)$$

$$\sigma_{yy} = J_1 \left(\frac{\partial u}{\partial x} + \frac{\partial v}{\partial y} \right) + J_2 \frac{\partial v}{\partial y} - J_3,$$

где отнесенные к полутолщине пластинки δ перемещения срединной поверхности пластинки $u(x, y, Fo)$, $v(x, y, Fo)$ удовлетворяют уравнениям

$$\begin{aligned} 2(J_1 + J_2) \frac{\partial^2 u}{\partial x^2} + J_2 \frac{\partial^2 u}{\partial y^2} + (2J_1 + J_2) \frac{\partial^2 v}{\partial x \partial y} &= 2 \frac{\partial J_3}{\partial x}; \\ 2(J_1 + J_2) \frac{\partial^2 v}{\partial y^2} + J_2 \frac{\partial^2 v}{\partial x^2} + (2J_1 + J_2) \frac{\partial^2 u}{\partial x \partial y} &= 2 \frac{\partial J_3}{\partial y}; \end{aligned} \quad (5)$$

λ_i, μ_i — коэффициенты Ламе; $\alpha_i^{(i)}$ — температурный коэффициент линейного расширения покрытия ($i = 0$) и основного материала ($i = 1$);

$$J_1 = \gamma_1 + 2\varepsilon(\gamma_0 - \gamma_1); \quad J_2 = 2[\mu_1 + 2\varepsilon(\mu_0 - \mu_1)]; \quad J_3 = [\gamma_1^* + 2\varepsilon(\gamma_0^* - \gamma_1^*)] T;$$

$$\gamma_i = \frac{2\lambda_i \mu_i}{\lambda_i + 2\mu_i}; \quad \gamma_i^* = \frac{2\mu_i \beta_i}{\lambda_i + 2\mu_i}; \quad \beta_i = \alpha_i^{(i)} (3\lambda_i + 2\mu_i).$$

Вводя функцию Φ таким образом, что

$$u = \frac{1}{J_2} \frac{\partial \Phi}{\partial x}; \quad v = \frac{1}{J_2} \frac{\partial \Phi}{\partial y},$$

после интегрирования по x первого уравнения (5) (или по y — второго) для определения функции Φ имеем уравнение

$$\Delta \Phi = K_\sigma T, \quad (6)$$

где

$$\begin{aligned} K_\sigma &= \alpha_i^{(1)} E_1 [1 + 2\varepsilon(K_\mu^+ - 1)] K_\nu; \quad K_\mu^\pm = \frac{K_E (1 \pm \nu_1)}{1 \pm \nu_0}; \\ K_\nu &= \frac{1 + 2\varepsilon(K_1 - 1)}{1 + 2\varepsilon(K_2 - 1)}; \quad K_1 = K_\alpha K_\mu^-; \quad K_2 = \frac{K_E (1 - \nu_1^2)}{1 - \nu_0^2}; \end{aligned}$$

$K_E = \frac{E_0}{E_1}$; $K_\alpha = \frac{\alpha_i^{(0)}}{\alpha_i^{(1)}}$; E_i — модуль упругости; ν_i — коэффициент Пуассона ($i = 0, 1$).

Представим компоненты температурных напряжений через функцию Эйри U и функцию Φ в виде

$$\sigma_{xx} = \frac{\partial^2 F}{\partial y^2}; \quad \sigma_{yy} = \frac{\partial^2 F}{\partial x^2}; \quad \sigma_{xy} = - \frac{\partial^2 F}{\partial x \partial y}, \quad (7)$$

где $F = U - \Phi$.

Поступая аналогично работе [3] для однородных пластинок, находим, что функция U удовлетворяет бигармоническому уравнению

$$\Delta \Delta U = 0, \quad (8)$$

если справедливо уравнение (6).

Уравнения (2), (6) по виду совпадают с соответствующими уравнениями для однородной пластинки [3]. Таким образом, аналогично работе [1] для армированных пластинок квазистатическая задача термоупругости для пластинки с двусторонним покрытием приведена к соответствующей задаче для однородной пластинки. Поэтому, заменяя в известных решениях [3] задач термоупругости для однородных пластинок, нагреваемых системой мгновенных равноотстоящих сосредоточенных источников тепла, коэффициенты $Bi, Fo, Q, \alpha_i E$ соответственно на $Bi^*, Fo^*, Q^*, K_\sigma$, получаем решения соответствующих задач для полосы-пластинки и неограниченной пластинки ($l \rightarrow \infty$) с двусторонними покрытиями:

$$\begin{aligned} T &= \frac{Q^* e^{-Mi}}{2lc} \vartheta_3 \left(\frac{x}{2l}, \frac{Fo^*}{l^2} \right) \left(\frac{1}{2} + \sum_{m=1}^{\infty} e^{-\lambda_m^2 Fo^*} \cos \lambda_m y \right); \\ \sigma_{xx} &= - \frac{K_\sigma Q^* e^{-Mi}}{2c} \sum_{m=1}^{\infty} \cos \lambda_m y \left\{ \frac{M(\lambda_m) \lambda_m}{l} [\varphi(\lambda_m, Fo^*) (\operatorname{ch} x \lambda_m \operatorname{sh} l \lambda_m + \right. \end{aligned}$$

$$\begin{aligned}
& + l\lambda_m \operatorname{ch} l\lambda_m \operatorname{ch} x\lambda_m - x\lambda_m \operatorname{sh} l\lambda_m \operatorname{sh} x\lambda_m) - \\
& - \left(l + \frac{e^{-l\lambda_m}}{\lambda_m} \operatorname{sh} l\lambda_m \right) \operatorname{ch} x\lambda_m + x \operatorname{sh} x\lambda_m \left. + \lambda_m \left[e^{-|x|\lambda_m} - \lambda_m \psi(x, \lambda_m, \operatorname{Fo}^*) \right] \right\}; \\
\sigma_{xy} = & \frac{K_\sigma Q^* e^{-\operatorname{Mi}}}{2c} \sum_{m=1}^{\infty} \sin \lambda_m y \left\{ \frac{M(\lambda_m)}{l} [\varphi(\lambda_m, \operatorname{Fo}^*) \lambda_m^2 (l \operatorname{sh} x\lambda_m \operatorname{ch} l\lambda_m - \right. \\
& - x \operatorname{ch} x\lambda_m \operatorname{sh} l\lambda_m) + \operatorname{sh} x\lambda_m (e^{-l\lambda_m} \operatorname{ch} l\lambda_m - l\lambda_m) + \\
& \left. + x\lambda_m \operatorname{ch} x\lambda_m] - \lambda_m \left[e^{-|x|\lambda_m} \operatorname{sgn}_+ x + \frac{d\psi(x, \lambda_m, \operatorname{Fo}^*)}{dx} \right] \right\}; \quad (9)
\end{aligned}$$

$$\begin{aligned}
\sigma_{yy} = & -\sigma_{xx} + \frac{K_\sigma Q^* e^{-\operatorname{Mi}}}{2c} \left\langle \sum_{m=1}^{\infty} \cos \lambda_m y \left\{ \frac{2M(\lambda_m)}{l} [\operatorname{ch} x\lambda_m - \varphi(\lambda_m, \operatorname{Fo}^*) \times \right. \right. \\
& \times \lambda_m \operatorname{ch} x\lambda_m \operatorname{sh} l\lambda_m] - \frac{1}{l} e^{-\lambda_m^2 \operatorname{Fo}^*} \vartheta_3 \left(\frac{x}{2l}, \frac{\operatorname{Fo}^*}{l^2} \right) \left. \right\} + \\
& \left. + \frac{1}{2l} \left[1 - \vartheta_3 \left(\frac{x}{2l}, \frac{\operatorname{Fo}^*}{l^2} \right) \right] \right\rangle;
\end{aligned}$$

$$T = \frac{Q^* e^{-\operatorname{Mi} - \frac{x^2}{4\operatorname{Fo}^*}}}{2\sqrt{\pi \operatorname{Fo}^*} c} \left(\frac{1}{2} + \sum_{m=1}^{\infty} e^{-\lambda_m^2 \operatorname{Fo}^*} \cos \lambda_m y \right);$$

$$\begin{aligned}
\sigma_{xx} = & \frac{K_\sigma Q^* e^{-\operatorname{Mi}}}{2c} \sum_{m=1}^{\infty} \lambda_m \cos \lambda_m y \left[-\operatorname{ch} |x|\lambda_m + \frac{1}{2} e^{-|x|\lambda_m} \times \right. \\
& \times \operatorname{erf} \left(\lambda_m \sqrt{\operatorname{Fo}^*} - \frac{|x|}{2\sqrt{\operatorname{Fo}^*}} \right) + \frac{1}{2} e^{|x|\lambda_m} \operatorname{erf} \left(\lambda_m \sqrt{\operatorname{Fo}^*} + \frac{|x|}{2\sqrt{\operatorname{Fo}^*}} \right) \left. \right];
\end{aligned}$$

$$\begin{aligned}
\sigma_{xy} = & \frac{K_\sigma Q^* e^{-\operatorname{Mi}}}{2c} \sum_{m=1}^{\infty} \lambda_m \sin \lambda_m y \left[\operatorname{sh} |x|\lambda_m + \frac{1}{2} e^{-|x|\lambda_m} \times \right. \\
& \times \operatorname{erf} \left(\lambda_m \sqrt{\operatorname{Fo}^*} - \frac{|x|}{2\sqrt{\operatorname{Fo}^*}} \right) - \frac{1}{2} e^{|x|\lambda_m} \operatorname{erf} \left(\lambda_m \sqrt{\operatorname{Fo}^*} + \frac{|x|}{2\sqrt{\operatorname{Fo}^*}} \right) \left. \right] \operatorname{sgn}_+ x; \quad (10)
\end{aligned}$$

$$\sigma_{yy} = -\sigma_{xx} - \frac{K_\sigma Q^* e^{-\operatorname{Mi} - \frac{x^2}{4\operatorname{Fo}^*}}}{2\sqrt{\pi \operatorname{Fo}^*} c} \left(\frac{1}{2} + \sum_{m=1}^{\infty} e^{-\lambda_m^2 \operatorname{Fo}^*} \cos \lambda_m y \right).$$

Здесь $\vartheta_3(u, v)$ — тэта-функция; $\operatorname{Mi} = \operatorname{Bi}^* \operatorname{Fo}^*$;

$$\varphi(\eta, \operatorname{Fo}) = \frac{1}{l} \left[\frac{1 - e^{-\eta^2 \operatorname{Fo}}}{\eta^2} + 2 \sum_{n=1}^{\infty} (-1)^n \frac{1 - e^{-\left(\eta^2 + \frac{n^2 \pi^2}{l^2}\right) \operatorname{Fo}}}{\eta^2 + \frac{n^2 \pi^2}{l^2}} \right];$$

$$\psi(x, \eta, \operatorname{Fo}) = \frac{1}{l} \left[\frac{1 - e^{-\eta^2 \operatorname{Fo}}}{\eta^2} + 2 \sum_{n=1}^{\infty} \cos \frac{n\pi}{l} x \frac{1 - e^{-\left(\eta^2 + \frac{n^2 \pi^2}{l^2}\right) \operatorname{Fo}}}{\eta^2 + \frac{n^2 \pi^2}{l^2}} \right];$$

$$M(\eta) = \frac{2l\eta}{\operatorname{sh} 2l\eta + 2l\eta}; \quad \operatorname{erf}(\xi) = \frac{2}{\sqrt{\pi}} \int_0^\xi e^{-t^2} dt; \quad \operatorname{sgn}_+ x = \begin{cases} 1, & x > 0; \\ -1, & x \leq 0. \end{cases}$$

По формулам (10) проведены расчеты безразмерных температурных напряжений $\sigma_i = \frac{\sigma_{ii}}{\alpha_i^{(1)} E_1 Q}$ ($i = x, y$); $\tau_{xy} = \frac{\sigma_{xy}}{\alpha_i^{(1)} E_1 Q}$ для стальной бесконечной пластинки с двусторонним молибденовым покрытием. В этом случае $K_\lambda = 2, 3$; $K_c = 0,765$; $K_E = 1,43$; $K_\alpha = 0,46$; $\nu_0 = \nu_1 = 0,3$. Графики рас-

предела напряжения σ_x и σ_y в зависимости от x , Fo и Bi при $y = 0$, $\varepsilon = 0,1$, $c = 10$ приведены на рис. 1.

Напряжения $\sigma_x|_{y=0}$ сжимающие и с ростом x уменьшаются. Напряжения $\sigma_y|_{y=0}$ изменяют знак, переходя из области сжатия в область растяжения. Максимального значения напряжения достигают при $x = 0$. Из графиков видно, что с ростом критериев Bi и Fo напряжения уменьшаются.

Исследуем теперь влияние двустороннего покрытия на распределение температурных напряжений. Приводим графики изменения напряжений σ_x , σ_y (рис. 2), τ_{xy} (рис. 3), возникающих в однородной пластинке ($\varepsilon = 0$) и в пластинке с двусторонним покрытием ($\varepsilon = 0,1; 0,25$), в зависимости от y при $x = 0$ (σ_x , σ_y) и $x = 2$ (τ_{xy}). При этом $Bi = 0,01$,

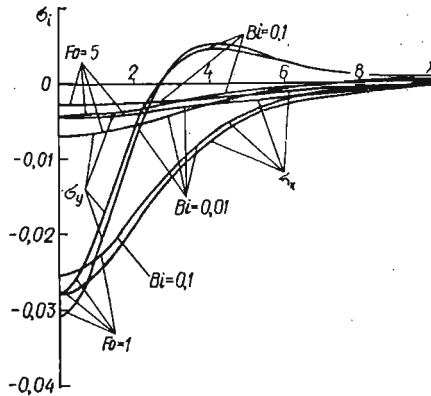


Рис. 1

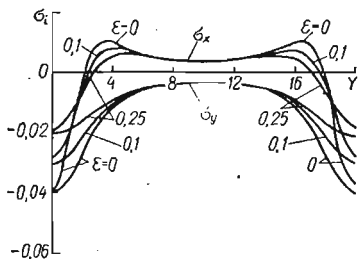


Рис. 2

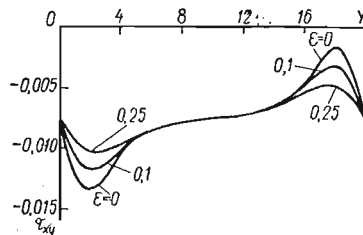


Рис. 3

$Fo = 1$, $c = 10$. Как видно из графиков, максимальные значения напряжений в стальной пластинке с двусторонним покрытием при принятых значениях критериев Bi и Fo с увеличением толщины покрытия уменьшаются.

1. Коляно Ю. М., Кулик О. М., Гульчевский Л. С. Термопружность армованных пластинок.— Доп. АН УРСР. Сер. А, 1977, № 7, с. 608—612.
2. Коляно Ю. М., Попович В. С. Уравнения термоупругости неоднородных и кусочно-однородных пластин.— В кн.: Математические методы в термомеханике.— Киев: Наук. думка, 1978, с. 50—63.
3. Подстригач Я. С., Коляно Ю. М. Неустановившиеся температурные поля и напряжения в тонких пластинках.— Киев: Наук. думка, 1972.— 308 с.

Институт прикладных проблем механики и математики АН УССР

Поступила в редколлегию 13.09.78

УДК [535 : 538] : 519.33

Н. В. Салтанов

ВАРИАЦИОННЫЕ МОДЕЛИ ЭЛЕКТРОГИДРОДИНАМИКИ В ЭЙЛЕРОВОМ И ЭЙЛЕР-ЛАГРАНЖЕВОМ ПРЕДСТАВЛЕНИЯХ

Хорошо известно, что вариационные формулировки моделей и задач физики, механики, прикладной математики и т. д. обладают определенными преимуществами. В частности, в последнее время значительный прогресс в построении моделей механики сплошной среды достигнут в работах Л. И. Седова [15 и др.]. В термомеханике эффективные вариационные принципы сформулированы Я. С. Подстригачем, Э. И. Григолюком и их сотрудниками [1, 5, 9, 17]. В исследованиях В. С. Ткалича [15, 16] выполнена значительная